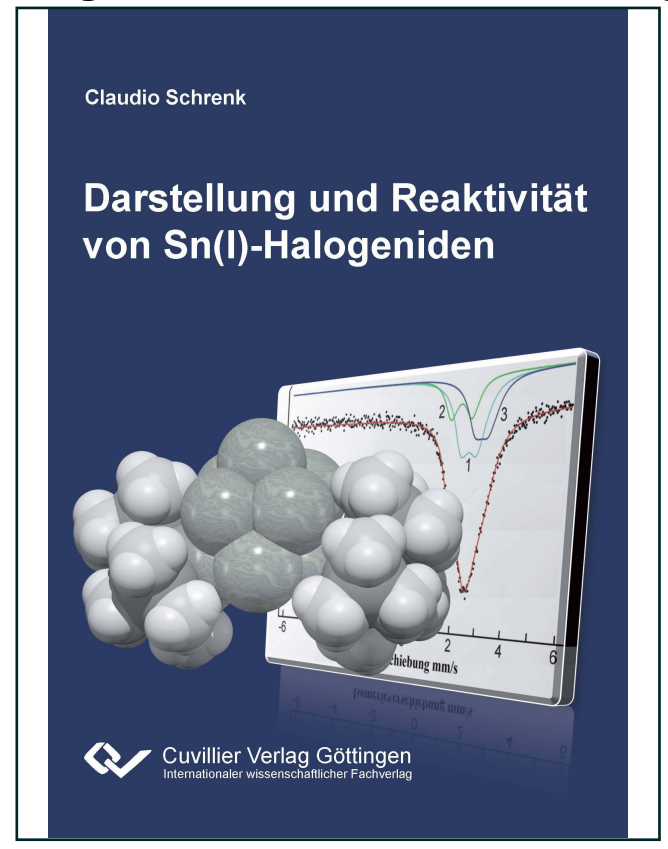


## Claudio Schrenk (Autor)

## Darstellung und Reaktivität von Sn(I)-Halogeniden



https://cuvillier.de/de/shop/publications/6238

## Copyright:

Cuvillier Verlag, Inhaberin Annette Jentzsch-Cuvillier, Nonnenstieg 8, 37075 Göttingen, Germany

Telefon: +49 (0)551 54724-0, E-Mail: info@cuvillier.de, Website: https://cuvillier.de



## Inhaltsverzeichnis

| Teil A – Einleitung   | 1  |
|---|----|
| 1. Das Element Zinn   | 1  |
| 2. Halogenverbindungen des Zinns  | 4  |
| 2.1 Zinn(IV)-Halogenide   | 4  |
| 2.2 Zinn(II)-Halogenide   | 5  |
| 3. Zielsetzung: Darstellung von Sn(I)-Halogeniden   | 7  |
| Teil B – Darstellung einwertiger Zinnhalogenide   | 8  |
| 1. Einleitung   | 8  |
| 2. Die präparative Kokondensationstechnik   | 10 |
| 2.1 Thermodynamische Betrachtung am Beispiel SnBr   | 10 |
| 2.2 Prinzip und Aufbau der Kokondensationsapparatur   | 12 |
| 3. Lösungen von Sn $X$ ( $X = Cl$ , $Br$ ) in Toluol  | 15 |
| 4. Disproportionierung der SnX-Lösungen   | 18 |
| 5. Fazit  | 20 |
| Teil C – Oxidationsprodukte der Disproportionierungsreaktion  | 21 |
| 1. Einleitung   | 21 |
| 2. Das Stannid Li[Sn(Si(SiMe <sub>3</sub> ) <sub>3</sub> ) <sub>3</sub> ] <b>3</b>  | 23 |
| 3. Das Cyclotristannen Sn <sub>3</sub> (Si(SiMe <sub>3</sub> ) <sub>3</sub> ) <sub>4</sub> <b>4</b>   | 26 |
| 4. Der überdachte Vierring Sn <sub>4</sub> Si(Si(SiMe <sub>3</sub> ) <sub>3</sub> ) <sub>4</sub> (SiMe <sub>3</sub> ) <sub>2</sub> <b>8</b> | 31 |
| 5. Fazit  | 41 |
| Teil D – Darstellung metalloider Zinncluster aus Sn(I)-Halogeniden  | 42 |
| 1. Einleitung   | 42 |
| 1.1 Metalloide Cluster der 13. Gruppe   | 43 |
| 1.2 Metalloide Germaniumcluster   | 45 |
| 1.3 Metalloide Zinncluster  | 47 |



| 1.4 Zinnhaltige Zintl-Ionen  | 49  |
|--|-----|
| 2. Der metalloide Cluster Sn <sub>10</sub> (Si(SiMe <sub>3</sub> ) <sub>3</sub> ) <sub>6</sub> <b>5</b>                  | 51  |
| 3. Packungsvarianten von $Sn_{10}(Si(SiMe_3)_3)_6$ 5   | 58  |
| 4. Der metalloide Cluster Sn <sub>10</sub> (Si(SiMe <sub>3</sub> ) <sub>3</sub> ) <sub>5</sub> - <b>23</b>               | 65  |
| 5. Der metalloide Cluster $Sn_{10}(Si(SiMe_3)_3)_4^{2-}$ <b>24</b>   | 71  |
| 6. Der metalloide Cluster $Sn_{10}Si(Si(SiMe_3)_3)_4(SiMe_3)_2^{2-}$ <b>25</b>   | 78  |
| 7. Der metalloide Cluster $Sn_8E(Si(SiMe_3)_3)_3$ <b>26</b> (E = Si, Sn)   | 82  |
| 8. Der metalloide Cluster Sn <sub>9</sub> (Si(SiMe <sub>3</sub> ) <sub>3</sub> ) <sub>2</sub> <sup>2-</sup> <b>27</b>    | 88  |
| 9. Fazit   | 94  |
| Teil E – Metalloide Zinncluster als Baustein in der Synthesechemie   | 95  |
| 1. Einleitung  | 95  |
| 2. Reaktionen mit $Sn_{10}(Si(SiMe_3)_3)_4^{2-}$ <b>24</b>   | 99  |
| 3. Reaktionen mit $Sn_9(Si(SiMe_3)_3)_2^{2-}$ <b>27</b>  | 107 |
| 4. Ausblick I: Reaktionen mit Sn <sub>9</sub> (Si(SiMe <sub>3</sub> ) <sub>3</sub> ) <sub>3</sub> <sup>-</sup> <b>30</b> | 113 |
| 5. Ausblick II: Reaktionen mit Sn <sub>10</sub> (Si(SiMe <sub>3</sub> ) <sub>3</sub> ) <sub>5</sub> 23                   | 115 |
| 6. Fazit   | 116 |
| Teil F – Zusammenfassung   | 117 |
| Teil G – Anhang  | 121 |
| 1. Experimentelles und Methoden  | 121 |
| 1.1 Synthese- und Charakterisierungsmethoden   | 121 |
| 1.2 Darstellung und Aufreinigung der Ausgangsverbindungen  | 124 |
| 1.3 Dargestellte Verbindungen  | 125 |
| 1.3.1 Synthese einer metastabilen SnX-Lösung und einer SnX-Emulsion  | 125 |
| 1.3.2 Synthese von (thf)LiSn(Si(SiMe <sub>3</sub> ) <sub>3</sub> ) <sub>3</sub> 3 · Li(thf)                              | 126 |
| 1.3.3 Synthese von ([12]Krone-4)(thf)LiSn(Si(SiMe <sub>3</sub> ) <sub>3</sub> ) <sub>3</sub> 3                           | 126 |
| 1.3.4 Synthese von $Sn_{10}(Si(SiMe_3)_3)_6$ <b>5</b> · $Sn_3(Si(SiMe_3)_3)_4$ <b>4</b>                                  | 127 |
| $1.3.5 \; Synthese \; von \; Sn_{10}(Si(SiMe_3)_3)_6 \; \textbf{5} \cdot Sn_4Si(Si(SiMe_3)_3)_4(SiMe_3)_2 \; \textbf{8}$ | 127 |
| 1.3.6 Synthese von $Sn_{10}(Si(SiMe_3)_3)_6$ <b>5</b>  | 127 |



| 1.3.7 Synthese von $LiSn_{10}(Si(SiMe_3)_3)_5$ 23  | 128 |
|--|-----|
| 1.3.8 Synthese von $\text{Li}_2\text{Sn}_{10}(\text{Si}(\text{SiMe}_3)_3)_4$ <b>24</b>                               | 129 |
| 1.3.9 Synthese von $LiSn_8E(Si(SiMe_3)_3)_3$ (E = Si, Sn) 26   | 129 |
| $1.3.10$ Synthese von $Li_2Sn_9(Si(SiMe_3)_3)_2$ 27  | 130 |
| $1.3.11 \; Synthese \; von \; LiSn_{10}(Si(SiMe_3)_3)_3 \; \textbf{28} \cdot ClZnSi(SiMe_3)_3(tmeda) \; \textbf{29}$ | 130 |
| 1.3.12 Synthese von LiSn <sub>9</sub> (Si(SiMe <sub>3</sub> ) <sub>3</sub> ) <sub>3</sub> <b>30</b>                  | 131 |
| 2. Kristallografische Details  | 132 |
| 3. Übersicht der Reaktivität der SnX-Lösungen/Emulsionen   | 148 |
| 4. ESI-Massenspektren  | 149 |
| 5. NMR-Spektren  | 151 |
| 6. EDX-Spektrum  | 153 |
| 7. Literatur   | 154 |
| Publikationsliste  | 162 |
| Tagungsbeiträge  | 163 |
| Lehenslauf   | 164 |